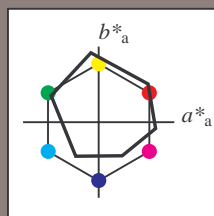


### Eingabe: Farbmetrisches Offset-Refektiv-System ORS18a

mit *rgb*-Daten der  
vier Elementarunttöne

1 0 0 = Rot *R*  
1 1 0 = Gelb *J*  
0 1 0 = Grün *G*  
0 0 1 = Blau *B*

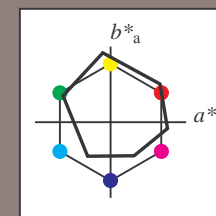


ORS18a; adaptierte CIELAB-Daten					
$L^*=L^*_a$	$a^*_a$	$b^*_a$	$C^*_{ab,a}$	$h^*_{ab,a}$	
O <sub>Ma</sub> 47.94	65.39	50.52	82.63	38	
Y <sub>Ma</sub> 90.37	-10.26	91.75	92.32	96	
L <sub>Ma</sub> 50.9	-62.83	34.96	71.91	151	
C <sub>Ma</sub> 58.62	-30.34	-45.01	54.3	236	
V <sub>Ma</sub> 25.72	31.1	-44.4	54.22	305	
M <sub>Ma</sub> 48.13	75.28	-8.36	75.74	354	
N <sub>Ma</sub> 18.01	0.0	0.0	0.0	0	
W <sub>Ma</sub> 95.41	0.0	0.0	0.0	0	
R <sub>CIE</sub> 39.92	58.66	26.98	64.57	25	
J <sub>CIE</sub> 81.26	-2.16	67.76	67.79	92	
G <sub>CIE</sub> 52.23	-42.25	11.76	43.87	164	
B <sub>CIE</sub> 30.57	1.15	-46.84	46.86	271	

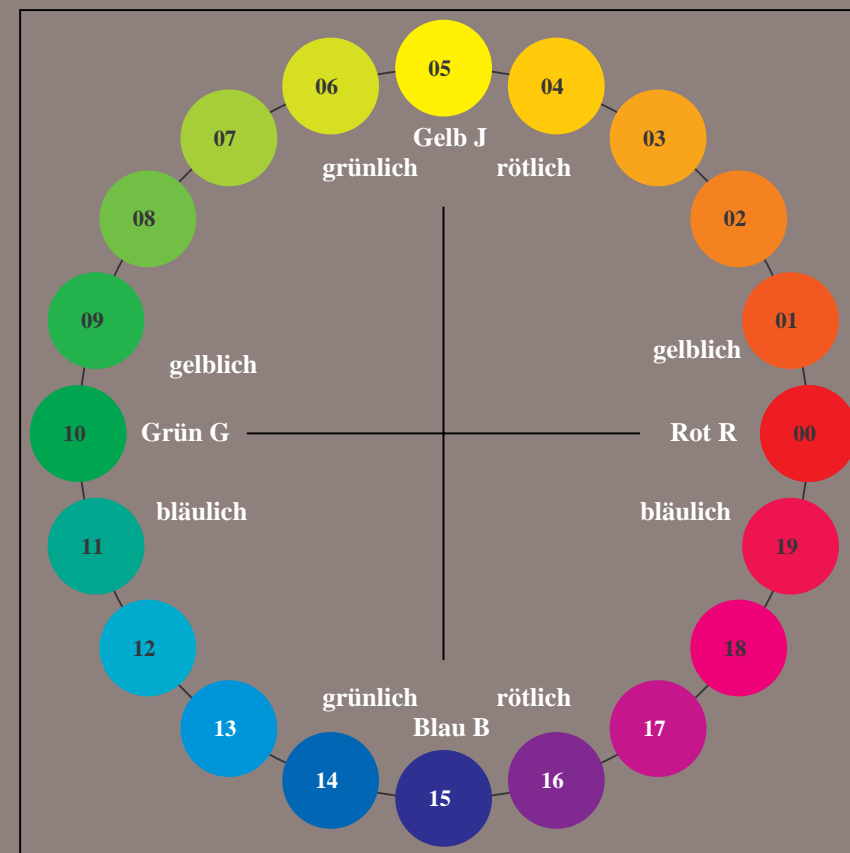
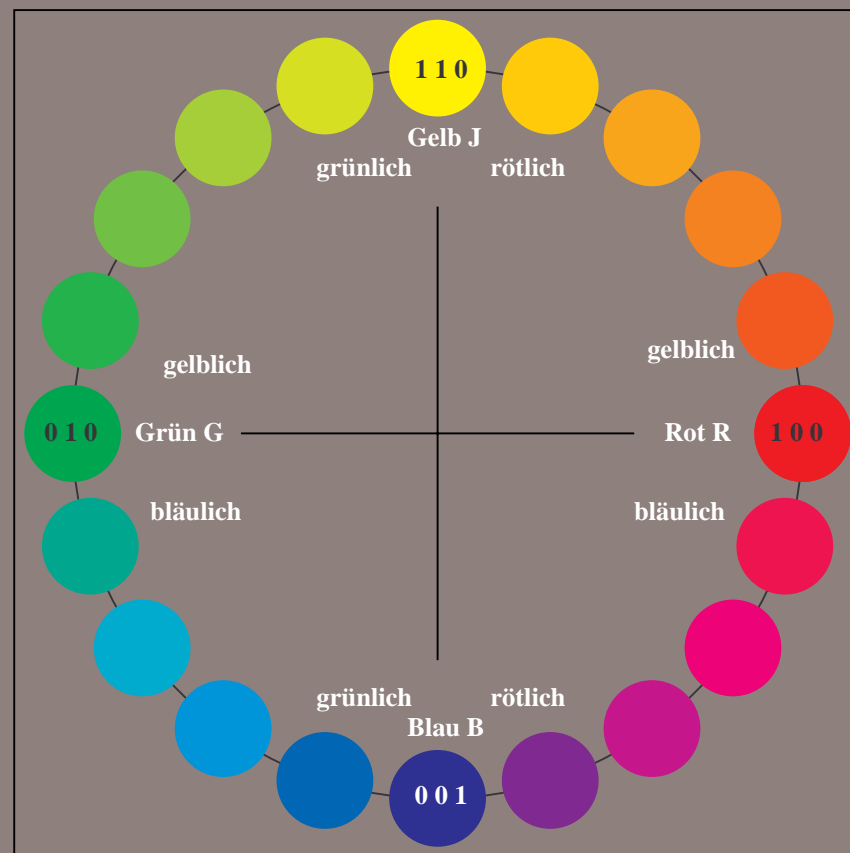
### Ausgabe: Farbmetrisches Offset-Refektiv-System ORS18a

mit Bunttonnummer

$n = 00$  bis 19  
00 = Rot *R*  
05 = Gelb *J*  
10 = Grün *G*  
15 = Blau *B*



ORS18a; adaptierte CIELAB-Daten					
$L^*=L^*_a$	$a^*_a$	$b^*_a$	$C^*_{ab,a}$	$h^*_{ab,a}$	
O <sub>Ma</sub> 47.94	65.39	50.52	82.63	38	
Y <sub>Ma</sub> 90.37	-10.26	91.75	92.32	96	
L <sub>Ma</sub> 50.9	-62.83	34.96	71.91	151	
C <sub>Ma</sub> 58.62	-30.34	-45.01	54.3	236	
V <sub>Ma</sub> 25.72	31.1	-44.4	54.22	305	
M <sub>Ma</sub> 48.13	75.28	-8.36	75.74	354	
N <sub>Ma</sub> 18.01	0.0	0.0	0.0	0	
W <sub>Ma</sub> 95.41	0.0	0.0	0.0	0	
R <sub>CIE</sub> 39.92	58.66	26.98	64.57	25	
J <sub>CIE</sub> 81.26	-2.16	67.76	67.79	92	
G <sub>CIE</sub> 52.23	-42.25	11.76	43.87	164	
B <sub>CIE</sub> 30.57	1.15	-46.84	46.86	271	



Dg250-7N, 20 stufiger Bunttonkreis mit Elementarfarben *R*, *J*, *G*, *B* (links)

Prüfvorlage 2 nach DIN 33872-5, Seite 1/2  
Elementaruntton-Übereinstimmung, ORS18a

20 stufiger Bunttonkreis mit Elementarfarben *R*, *J*, *G*, *B* (rechts)

Eingabe: *cmy0*( $\rightarrow$ *cmy0\**)*setcmykcolor*  
Ausgabe: keine Eingabeänderung